暗黒物質直接探索のための放射線物性セミナー2025 月出章

第2回

- 1.3 光吸収断面積と振動子強度
- 1.3.1. 誘電応答関数
- 1.3.2. 吸収係数と振動子強度 古典論
- 1.3.3. 吸収係数と振動子強度 量子論
- 2. 原子模型
- 2.1. 電子ガス
- 2.2. Thomas-Fermi 模型

内容 (仮)

- 1. 序論
- 1.1.阻止能と断面積
- 1.2.重粒子の阻止能 古典論
- 1.3.光吸収断面積と振動子強度
- 2. 原子模型
- 2.1. 電子ガス
- 2.2. Thomas-Fermi 模型
- 3. 重粒子の阻止能
- 3.1.高速重粒子の阻止能 Betheの式
- 3.2.重粒子の飛跡構造 -1
- 4. 低速重粒子
- 4.1 核的阻止能 Rutherford 散乱
- 4.2 電子的阻止能 誘電応答 (Lindhard理論)
- 4.3 MO理論
- 5. W値と energy balance
- 5.1気体と凝縮相
- 5.2 高速粒子と低速粒子
- 5.3 Penning電離 一重項と三重項

文献

光吸収断面積、振動子強度

井口道生、放射線化学誌の特集・連続記事

L.D. Landau and E. M. Lifshitz, "Electrodynamics of continuous media", Pergamon, London (1960).

Charged Particle and Photon Interactions with Matter: Recent Advances, applications, and Interfaces; ed.Y. Hatano et al. Taylor & Francis, Boca Raton, 2010;.

Chapt. 2. T. Odagiri and N. Kouchi Chapt. 5. H. Hayashi and Y, Udagawa

1.3.1. 誘電応答関数

自由電子

hω >> 電子の束縛エネルギー

External field

$$E(t) = E_0 e^{-i\omega t}$$

The Newton equation of motion

$$m_e \frac{d^2 \mathbf{r}}{dt^2} = -e \mathbf{E}$$

定常解は

$$\mathbf{r} = \left(\frac{e}{m_e \omega^2}\right) \mathbf{E}$$

(単位体積当りの双極子モーメント) 分極

$$\mathbf{P} = -eN_e\mathbf{r} = -\left(\frac{e^2N_e}{m_e\omega^2}\right)\mathbf{E}$$

$$\mathbf{D} = \varepsilon \mathbf{E} = \mathbf{E} + 4\pi \mathbf{P}$$

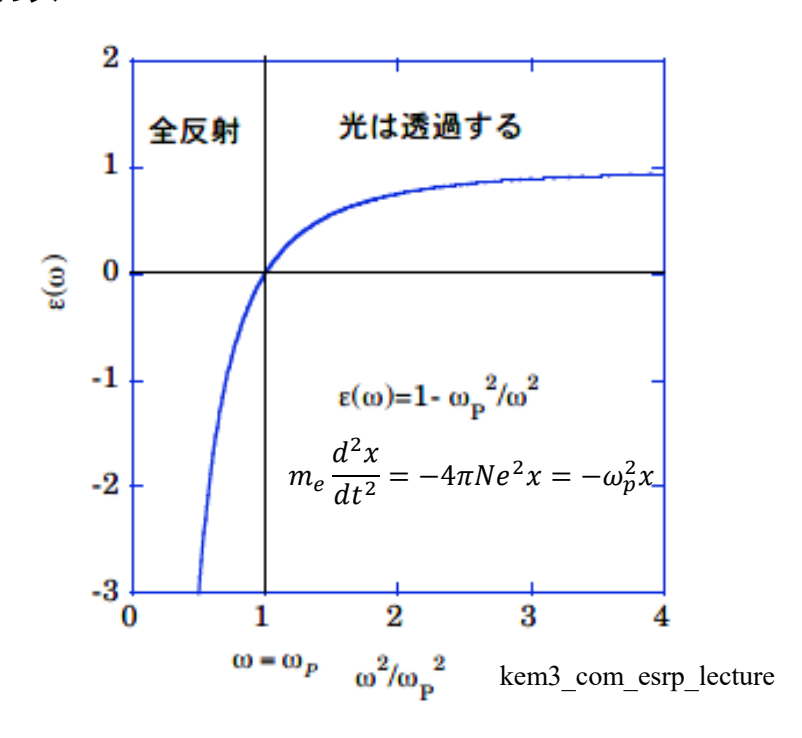
 $\mathbf{D} = \varepsilon \mathbf{E} = \mathbf{E} + 4\pi \mathbf{P}$ N_e : 単位体積当りの電子の数

$$\varepsilon=1+4\pi\frac{P}{E}$$
 $\varepsilon:$ permittivity, 誘電率
$$=1-\frac{4\pi N_e e^2}{m_e \omega^2}=1-\frac{\omega_p^2}{\omega^2}$$
 $\omega\to\infty$ のときの ε の振舞い $\omega_p=\sqrt{\frac{4\pi N e^2}{m_e}}$

$$= 1 - \frac{4\pi N_e e^2}{m_e \omega^2} = 1 - \frac{\omega_p^2}{\omega^2}$$

$$\omega_{
m p}$$
: プラズマ角振動数

一様な正の電荷を帯びて無限に広い背景に置かれ た、数密度がNの電子の集団が自然に起こしうる調 和振動の角振動数。



D: electric displacement,電気変位

The dipole polarizability $\alpha(\omega)$ (The electric dipole moment induced by the unit field)

自由電子の分極率
$$\alpha = -\frac{e^2}{m_e \omega^2}$$

M. Inokuti, Photochem. Photobiol., 44, no. 3, 279-285 (1986) 井口道生, 放射線化学, 49, 2 (1990)...

伊藤本 4.1

1.3.2. 吸収係数と振動子強度 古典論 -1 物質の中の電子

平衡の位置からの変位に比例する力で束縛。固有角振動数 ω_n

External field

$$E(t) = E_0 e^{-i\omega t}$$

The Newton equation of motion

$$m_e \frac{d^2x}{dt^2} = -m_e \omega_n^2 x - m_e \gamma_n \frac{dx}{dt} - eE(t)$$

 γ_n :damping coefficient 他の電子や核にエネルギーを. 光を放出.

解は

$$x = -\frac{1}{\omega_n^2 - \omega^2 - i\gamma_n \omega} \left(\frac{e}{m_e}\right) E_0 e^{-i\omega t}$$

双極子能率 (-ex)

(the induced electric dipole moment)

$$P = \frac{1}{\omega_n^2 - \omega^2 - i\gamma_n \omega} \left(\frac{e^2}{m_e}\right) E_0 e^{-i\omega t}$$

The dipole polarizability $\alpha(\omega)$

$$\alpha(\omega) == \frac{P}{E} = \frac{e^2}{m_e(\omega_n^2 - \omega^2 - i\gamma_n\omega)}$$

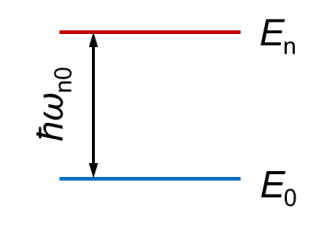
for one electron (oscillator).

The polarizability of the atom is the superposition of the above Eq.

$$\alpha(\omega) = \frac{e^2}{m_e} \Sigma_n \frac{f_n}{\omega_n^2 - \omega^2 - i\gamma_n \omega}$$

The frequency ω_n is related to the excitation energy E_n of the state n measured from g,s. by the Bohr condition,

$$\omega_n = E_n/\hbar$$
 $\omega >> \omega_n$, the f sum rule
 $\Sigma_n f_n = Z$



$$\hbar\omega_{0n}=E_n-E_0$$

M. Inokuti, Photochem. Photobiol., 44, no. 3, 279-285 (1986). 井口道生, 放射線化学, 49, 2 (1990).

1.3.2. 吸収係数と振動子強度 古典論 -2

$$\mathbf{D} = \varepsilon \mathbf{E} = \mathbf{E} + 4\pi \mathbf{P}$$

$$\varepsilon :$$
誘電率

物質の分極 **P** = -*eN***r**

$$\varepsilon = 1 + 4\pi \frac{P}{E}$$
 前頁より
$$= 1 + \frac{4\pi NZe^2}{m_e} \frac{1}{\omega_n^2 - \omega^2 - i\gamma_n \omega}$$
 (4.28)

屈折率 $n = n' + in'' = \varepsilon^{1/2}$

$$n' + in''$$

$$\approx 1 + \frac{2\pi NZe^2}{m_e} \frac{1}{\omega_n^2 - \omega^2 - i\gamma_n \omega}$$

屈折率の虚部 n" は

$$n'' = \frac{2\pi NZe^2}{m_e} \frac{\gamma_n \omega}{(\omega_n^2 - \omega^2)^2 + \omega^2 \gamma_n^2}$$

角振動数 ω で x 方向に進む電場は

$$E(t) = E_0 e^{-i\omega\left(t - \frac{nx}{c}\right)}$$
 減衰
$$= E_0 \left[e^{-i\omega\left(t - \frac{n'}{c}x\right)} \cdot e^{-\frac{\omega n''}{c}x} \right]$$
速さ c/n で伝わる

電磁波のエネルギーは振幅の二乗に比例

$$I = I_0 e^{-\frac{2\omega n''}{c}x}$$

吸収係数

$$\mu = N\sigma_a = \frac{2\omega n''}{c}$$

N: 単位体積当りの原子の数

断而積

$$\sigma_a = \frac{2\omega n''}{Nc} = \frac{4\pi Z e^2}{m_e} \frac{\omega}{c} \frac{\gamma_n \omega}{(\omega_n^2 - \omega^2)^2 + \omega^2 \gamma_n^2}$$
(4.33)

M. Inokuti, Photochem. Photobiol., 44, no. 3, 279-285 (1986). 井口道生, 放射線化学, 84, 44 (2007).

1.3.2. 吸収係数と振動子強度 古典論 -3

断面積

$$\sigma_{a} = \frac{2\omega n''}{Nc} = \frac{4\pi Z e^{2}}{m_{e}} \frac{\omega}{c} \frac{\gamma_{n}\omega}{(\omega_{n}^{2} - \omega^{2})^{2} + \omega^{2}\gamma_{n}^{2}}$$
(4.33)
$$\text{sum rule } \int f(\omega_{n})d\omega_{n} = Z \quad \text{if } 0$$

$$\sigma_{a} = \frac{4\pi e^{2}}{m_{e}} \frac{\omega^{2}\gamma_{n}}{c} \int_{0}^{\infty} \frac{f(\omega_{n})d\omega_{n}}{(\omega^{2} - \omega^{2})^{2} + \omega^{2}\gamma_{n}^{2}}$$

 $f(\omega_n) \to f(\omega)$ として積分の外に出し、分母を $(\omega_n - \omega)^2 (\omega_n + \omega)^2 + \gamma_n^2 \approx \omega^2 [4(\omega_n - \omega)^2 + \gamma_n^2]$ と変え積分を行うと、積分値が $\pi/2\gamma_n\omega$ となり

$$\sigma_a = \frac{2\pi^2 e^2}{m_e c} f(\omega)$$
 (4.36)

Einstein の A と B

Boltzmann distribution

$$\frac{N_n}{N_m} = \frac{g_n}{g_m} \exp\left(-\frac{h\nu_{nm}}{k_B T}\right)$$
 $T \to$
 $g : 準位の縮退度, N_n/N_m \to g_n/g_m$

Planckの公式

$$u(v,T) = \frac{8\pi h v^3}{c^3} \frac{1}{e^{hv/k_B T} - 1}$$

平衡状態 detail balance

$$N_n[A_{nm} + B_{nm}u(\nu_{nm})] = N_m B_{mn}u(\nu_{mn})$$

A > B > 0 関係

$$A_{nm} = \frac{8\pi h v_{nm}^3}{c^3} \frac{g_m}{g_n} B_{mn}$$
 [s⁻¹]

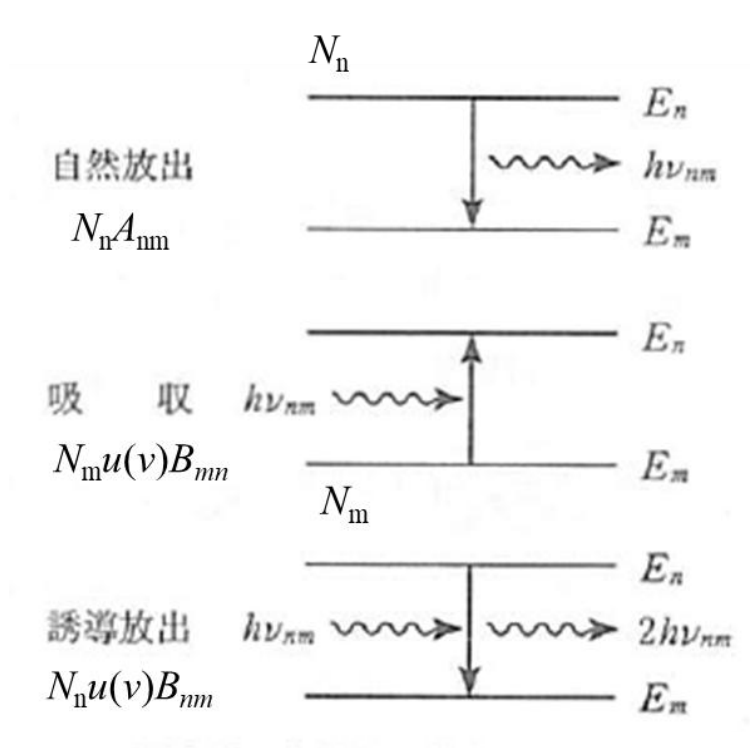


図4.9 光吸収・放出の3過程

rate equation

$$\frac{dN_n(t)}{dt} = -N_n \sum_m A_{nm}$$

radiative lifetime

$$au_n = \left(\sum_m A_{nm}\right)^{-1}$$
 分子や凝縮相では non-radiative な過程が入る

$$H = eU + \left(\mathbf{p} - \frac{e}{c}\mathbf{A}\right)^{2} / 2m_{e}$$

$$\approx \frac{p^{2}}{2m_{e}} + eU - \left(\frac{p}{m_{e}c}(\mathbf{p}\mathbf{A})\right)$$
(4.38)

角振動数 ω,波数 k の光に対して、

遷移の始状態と終状態を結ぶ行列要素 {(4.38) 第3項)}は

$$-\boldsymbol{e}_{\boldsymbol{k}}\frac{e}{m_{e}}\sqrt{\frac{h}{\omega}}\left\langle \phi_{f}x_{n\prime}|\boldsymbol{p}\left(a_{k}e^{i\boldsymbol{k}\cdot\boldsymbol{r}}+a_{k}^{\dagger}e^{-i\boldsymbol{k}\cdot\boldsymbol{r}}\right)|\phi_{i}x_{n}\right\rangle$$

行列要素の中で 0でなく、吸収に関するものは

$$-\frac{e}{m_{e}c} \langle \phi_{f} x_{n}, | \mathbf{p} \mathbf{A} | \phi_{i} x_{n} \rangle$$

$$= -e_{k} \frac{e}{m_{e}c} \langle x_{n}, | a_{k} | x_{n} \rangle \langle \phi_{f} | p e^{ikr} | \phi_{i} \rangle$$

$$= -e_{k} \frac{e}{m_{e}c} \sqrt{\frac{h}{\omega}} \sqrt{n} \langle \phi_{f} | p e^{ikr} | \phi_{i} \rangle \qquad = -i(h\omega)^{1/2} \sqrt{n} \langle \phi_{f} | e^{r} | \phi_{i} \rangle$$

$$(4.41)$$

U: 静電ポテンシャル

A: ベクトルポテンシャル

 ϕ : 電子波動関数

 x_n : $h\omega$ のエネルギーを持つ光子が n個存在する状態

$$a_k^{\dagger}|x_n\rangle = \sqrt{n+1}|x_{n+1}\rangle$$
 $a_k|x_n\rangle = \sqrt{n}|x_{n-1}\rangle$

双極子近似

$$pe^{ikr} \approx p \pm i(k \cdot r)p \approx p$$

$$\sharp \uparrow \zeta,$$

$$p = i \frac{m_e}{\hbar} \{Hr - rH\}$$

$$\langle \phi_f | p | \phi_i \rangle = i \frac{m_e}{\hbar} \langle \phi_f | Hr - rHp | \phi_i \rangle$$

$$= i \frac{m_e}{\hbar} (E_f - E_i) \langle \phi_f | r | \phi_i \rangle$$

$$= i m_e \omega \langle \phi_f | r | \phi_i \rangle \qquad (4.43)$$

(4.45)

黄金則

摂動 H'によって ϕ_i から ϕ_f への遷移確率は

$$d\omega = \frac{2\pi}{\hbar} |\langle \Phi_i | H' | \Phi_f \rangle|^2 \delta(E_i - E_f) \delta_{\nu}$$
 (2.19)
$$\delta_{\nu} : 遷移可能な終状態の状態数$$

単位体積当たり $k \ge k + dk$ の間の運動量を持つ状態の数は

$$\frac{1}{8\pi^3}k^2\mathrm{d}k\mathrm{d}\Omega = \frac{1}{8\pi^3c^2}\omega^2\mathrm{d}\omega\mathrm{d}\Omega$$

行列要素の中で 0でなく、放出に関するものは 前頁と同様に

$$\begin{split} &-\frac{e}{m_e c} \left\langle \phi_f x_{n\prime} \middle| \boldsymbol{p} \mathbf{A} \middle| \phi_i x_n \right\rangle \\ &= -e_k \frac{e}{m_e c} \left\langle x_{n\prime} \middle| a_k^{\dagger} \middle| x_n \right\rangle \left\langle \phi_f \middle| p e^{ikr} \middle| \phi_i \right\rangle \\ &= -i (h\omega)^{1/2} \sqrt{n+1} \left\langle \phi_f \middle| e r \middle| \phi_i \right\rangle \end{split}$$

自然放出に対しては
$$= -i(h\omega)^{1/2} \langle \phi_f | er | \phi_i \rangle$$
遷移確率は、
$$A = \frac{\omega^3}{hc^3} |\langle \Phi_f | er | \Phi_i \rangle|^2 d\Omega$$
全空間で積分すると
$$A = \frac{8\pi\omega^3}{3hc^3} |\langle \Phi_f | er | \Phi_i \rangle|^2 \qquad (4.49)$$

吸収に対する遷移確率は、

$$B = \frac{\omega^3}{hc^3} n |\langle \Phi_f | er | \Phi_i \rangle|^2 d\Omega$$

電気ベクトルと遷移方向との角度を θ とすると

$$B = \frac{\omega^3}{hc^2} n \left| \left\langle \Phi_f | er | \Phi_i \right\rangle \right|^2 \cos^2 \theta d\Omega$$

角度について平均すると

$$B = \frac{8\pi\omega^{3}}{3hc^{3}} \left| \left\langle \Phi_{f} | er | \Phi_{i} \right\rangle \right|^{2} n_{\omega}$$

$$= I = \frac{4\pi^{2}}{3\hbar^{2}c} \left| \left\langle \Phi_{f} | er | \Phi_{i} \right\rangle \right|^{2} I_{0}(\omega)$$
(4.52)

吸収されるエネルギーは毎秒 $Ih\omega$ だから、 吸収断面積は

$$\sigma_{a} = \frac{4\pi^{2}\omega}{3\hbar c} \left| \left\langle \Phi_{f} | er | \Phi_{i} \right\rangle \right|^{2}$$

振動子強度は

$$f = \frac{2m_e \omega}{3\hbar e^2} |\langle \Phi_f | er | \Phi_i \rangle|^2 \quad (4.36)$$
と比較

体積Vの中にエネルギー $h\omega$ を持つ光子が n_{ω} 個存在するとき、そのエネルギー密度は

$$\frac{1}{V} \left\{ 2 \sum_{\omega} \hbar \omega \left(n_{\omega} + \frac{1}{2} \right) \right\} = \int \hbar \omega \frac{n_{\omega}}{\pi^2 c^3} n_{\omega} d\omega$$

$$f_{0n} = \frac{2m_e(E_n - E_0)}{3\hbar^2} |< n | \sum_s r_s | 0 > |^2$$

次元のチェック
$$f = \left(\frac{1}{3}\right) \left(\frac{\hbar\omega}{R_{\infty}}\right) \left(\frac{\left|\left\langle \Phi_{f} | er | \Phi_{i} \right\rangle\right|}{e a_{B}}\right)^{2}$$

$$R_{\infty} = 13.6 \text{ eV}:$$

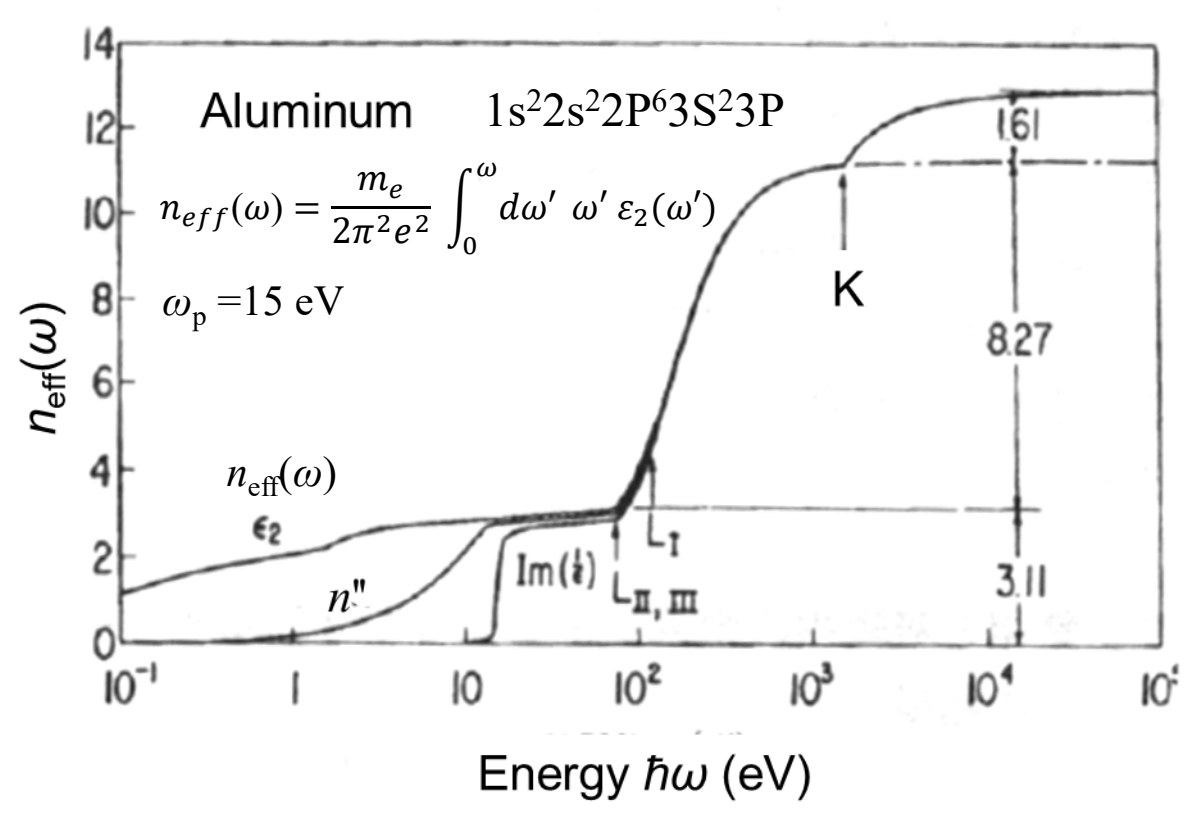


図 AI 金属における総和則 M電子 3.11, L電子 8.27, K電子 1.61, 和 12.99

$$\omega_p = \sqrt{\frac{4\pi N e^2}{m_e}} = 15 \text{ eV}$$
 , $N = 2.7$ 価電子3個 $(3S^23P)$ が伝導電子

E, Shiles et al. Phys. Rev. B22, 1612 (1980). 井口道生,放射線化学, 49, 2 (1990).

2.1. 電子ガス -1

電子ガス

電子が平均的な静電ポテンシャルV(r)の中を動いているとする。微小空間(原子)を考え、電子の de Broglie 波長がこの空間の大きさに比べて十分に小さいと、自由電子と見なすことができる。

自由粒子に対する平面波は規格化できない。

$$\int_{-\infty}^{\infty} dx \ \phi^* \phi \ = \int_{-\infty}^{\infty} dx \ 1 \ = \ \infty$$

そこで

$$f(x) = \sum_{n} a_n \, \phi_n(x)$$

と固有関数の和として表す。

さらに、連続量も許す。 $k=2\pi/L$: 波数

$$\sum_{n=1}^{\infty} () \rightarrow \int_{0}^{\infty} dk () \frac{L}{2\pi}$$

波動光学

x方向に進む平面波

$$U(x,t) = A \exp\{-i(\omega t - kx - \alpha)\}\$$

$$k = 2\pi/\lambda$$
: 波数 α : 位相

2.1. 電子ガス -2

周期的境界条件

$$-\frac{\hbar^2}{2m}\frac{\partial^2\phi}{\partial x^2} = E\phi(x)$$

$$\phi\left(x - \frac{L}{2}\right) = \phi\left(x + \frac{L}{2}\right)$$

$$\phi(x, y, z) = \frac{1}{\sqrt{L^3}}e^{i\mathbf{k}\cdot\mathbf{x}}$$

$$\phi'\left(x - \frac{L}{2}\right) = \phi'\left(x + \frac{L}{2}\right)$$

$$k = 2\pi/L: 波数$$

許される k_x , k_y , k_z の値は

$$\mathbf{k} = (k_x, k_y, k_z) = 2\pi \left(\frac{n_x}{L_x}, \frac{n_y}{L_y}, \frac{n_z}{L_z}\right) \qquad n_i: \text{ \underline{x}}$$

領域 dk_x , dk_v , dk_z に入る状態の数は

$$\frac{\mathrm{d}k_x}{2\pi} L_x \cdot \frac{\mathrm{d}k_y}{2\pi} L_y \cdot \frac{\mathrm{d}k_z}{2\pi} L_z = \frac{\mathrm{d}^3 \mathbf{k}}{(2\pi)^3} V_L$$

半径kの球の体積 $V_k = \frac{4\pi}{2}k^3$

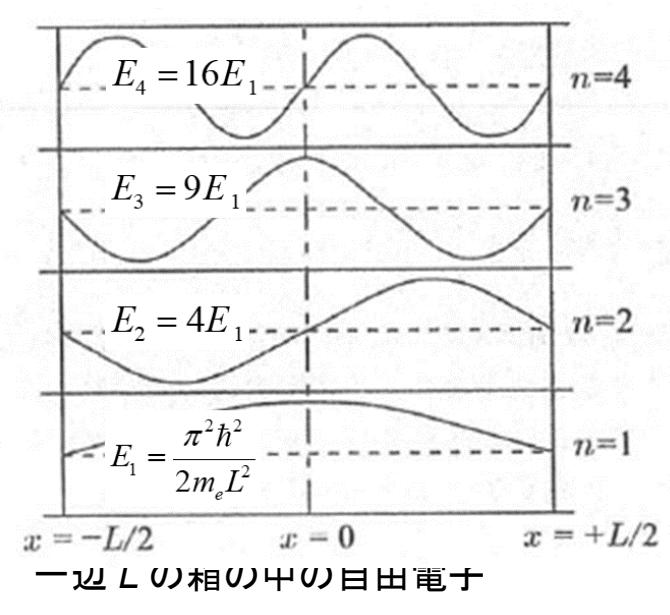
K. の中に入る電子数

$$N = 2V_k / \left(\frac{2\pi}{L}\right)^3 = \frac{L^3}{3\pi^2} k^3$$
 $n_e = \frac{N}{L^3} = \frac{k^3}{3\pi^2}$
$$L(V) は消える$$

電子密度

$$n_e = \frac{N}{L^3} = \frac{k^3}{3\pi^2}$$
 $k = (3\pi^2 n_e)^{1/3}$

L(V) は消えるが必要



両端で境界条件

2.1. 電子ガス -3

エネルギーは、

$$E(\mathbf{k}) = \frac{\hbar^2 k^2}{2m_e} = \frac{\hbar^2 (k_x^2 + k_y^2 + k_z^2)}{2m_e}$$

電子は低い状態から詰まっていく。

フェルミエネルギー
電子のもつ
最大エネルギー
$$E_F = \frac{\hbar^2 k_F^2}{2m_e} = \frac{\hbar^2}{2m_e} (3\pi^2 n_e)^{2/3}$$

Eから E+dEの状態密度

$$\rho(E)dE = \frac{1}{L^3} \times 2 \times \left(\frac{L}{2\pi}\right)^3 \times 4\pi k^2 dk$$

電子のエネルギー E は

$$\frac{\hbar^2 k^2}{2m_e} = E \qquad \frac{\hbar^2}{m_e} k dk = dE \qquad p = \hbar k$$

$$k^2 dk = \frac{m_e}{\hbar^2} k dE = \frac{\sqrt{2} m_e^{3/2}}{\hbar^3} \sqrt{E} dE$$

$$\rho(E) = \frac{\sqrt{2} m_e^{3/2}}{\pi^2 \hbar^3} \sqrt{E}$$

運動量空間 一つの状態が占める体積 $(2\pi h)^3$

電子密度

$$n_e(r)dr = \frac{1}{3\pi^2} \left(\frac{p_F(r)}{h}\right)^2$$

最大速度 (フェルミ速度)

$$v_F = \frac{p_F}{m_e} = \frac{\hbar (3\pi^2 n)^{1/3}}{m_e}$$

電子密度

$$n_e = \int_0^{E_F} \rho(E) dE = \frac{(2mE_F)^{3/2}}{3\pi\hbar^3}$$

$$P(E)$$

$$E_E \qquad E$$

Wave fn の議論を避け、電子密度 n_e 扱う。

原子を Z。の電荷を持った原子核の周りに Z個の電子 が充満した電子ガスと近似する。

ポテンシャルエネルギー



$$H_{i} = -\frac{\hbar^{2}}{2m_{e}} \nabla_{i}^{2} \left[-\frac{Ze^{2}}{r_{i}} + \sum_{j} \int \frac{e^{2}}{r_{ij}} |\phi_{j}(r_{j})|^{2} dr_{j} \right]$$
(1.31)

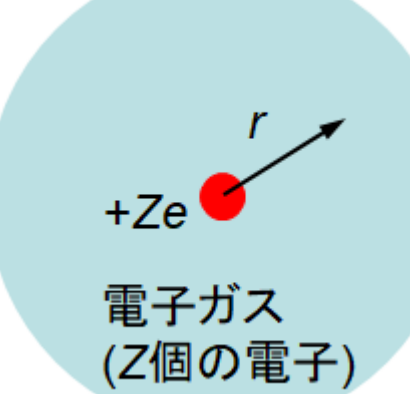
$$eV(\mathbf{r}) = U(r)$$
 球対象

$$\frac{p_e^2}{2m_e}$$
 $U(r)$ 束縛されているので 負

$$\begin{bmatrix} \frac{p_F^2}{2m_e} - U(r) = U_0 \\ E_F = \frac{p_F^2}{2m_e} = \frac{\hbar^2}{2m_e} (3\pi^2 n_e)^{2/3} \\ n_e(\mathbf{r}) d\mathbf{r} = \frac{1}{3\pi^2} \left(\frac{p_F(r)}{\hbar}\right)^3 d\mathbf{r} \\ n_e(r) = \frac{1}{3\pi^2 \hbar^3} \left\{ 2m_e \left(U(r) - U_0\right) \right\}^{3/2}$$

Poisson の方程式

$$\nabla^2 U = 4\pi e^2 n_e(r) \quad \nabla^2 U = \frac{8\sqrt{2}}{3\pi\hbar^3} e^2 m_e^{3/2} U^{3/2} \qquad \frac{d^2 \chi}{dx^2} = \frac{\chi^{3/2}}{x^{1/2}} \quad \text{Thomas-Fermi 方程式}$$



 $rU\sim Ze$

Thomas-Fermi 関数 $\chi(r)$

$$U(r) = \frac{Ze}{r} \chi(r) = \frac{Z^*e}{r}$$

$$Z^* = Z\chi(r) \quad \text{電子が感じる有効電荷 境界条件} \qquad \chi(0) = 1, \ \chi(\infty) = 0$$

$$n_{e}(\mathbf{r})d\mathbf{r} = \frac{1}{3\pi^{2}} \left(\frac{p_{F}(r)}{\hbar}\right)^{3} d\mathbf{r}$$
 中性原子
$$n_{e}(r) = \frac{1}{3\pi^{2}\hbar^{3}} \left\{2m_{e}\left(U(r) - U_{0}\right)\right\}^{3/2}$$

$$r = \frac{1}{2} \left(\frac{3\pi}{4}\right)^{2/3} \left(\frac{Ze^{2}}{r}\right)^{3/2} \chi^{3/2}$$

$$\frac{d^2 \chi}{dx^2} = \frac{\chi^{3/2}}{x^{1/2}}$$

Thomas-Fermi 方程式

$$\frac{d^2\chi}{dx^2} = \frac{\chi^{3/2}}{x^{1/2}}$$

$$\frac{d^2 \chi}{dx^2} = \frac{\chi^{3/2}}{x^{1/2}} \qquad r = \frac{1}{2} \left(\frac{3\pi}{4}\right)^{2/3} \left(\frac{\hbar^2}{m_e e^2}\right) Z^{-1/3} x$$
$$r = 0.88534 a_B Z^{-1/3} x$$

a_{TF}: Thomas-Fermi 半径

$$U(r) = \frac{Ze^{2}}{r} \chi(r) = \frac{Z^{*}e^{2}}{r}$$

$$a_{B} = \hbar / m_{e}e^{2} = 0.529A$$

$$p_{B} = m_{e}v_{B} = \sqrt{m_{e}e^{2} / a_{B}}$$

電子分布
$$4\pi r^2 \cdot n(r)$$
 の $n_e(r) = \frac{1}{3\pi^2\hbar^3} \left\{ 2m_e \left(U(r) - U_0 \right) \right\}^{3/2} = \frac{1}{3\pi^2\hbar^3} \left(2m_e \frac{Ze^2}{r} \chi(r) \right)^{3/2}$ $4\pi r^2 n_e(r) \mathrm{d}r = 4\pi r^2 n_e(r) \left\{ 0.88534 a_B Z^{-1/3} \right\} \mathrm{d}x$ $= Zx^{1/2} \left\{ \chi(x) \right\}^{3/2} \mathrm{d}x$ x の関数として表わすとすべての原子に共通

Fermi energy

$$E_F = \frac{p_F^2}{2m_e} = \frac{\hbar^2}{2m_e} (3\pi^2 n_e)^{2/3}$$
 $v_F = \frac{p_F}{m_e} = \frac{\hbar (3\pi^2 n)^{1/3}}{m_e}$

Thomas-Fermi

 $v_0 = 0.688Z^{-2/3}v_R$

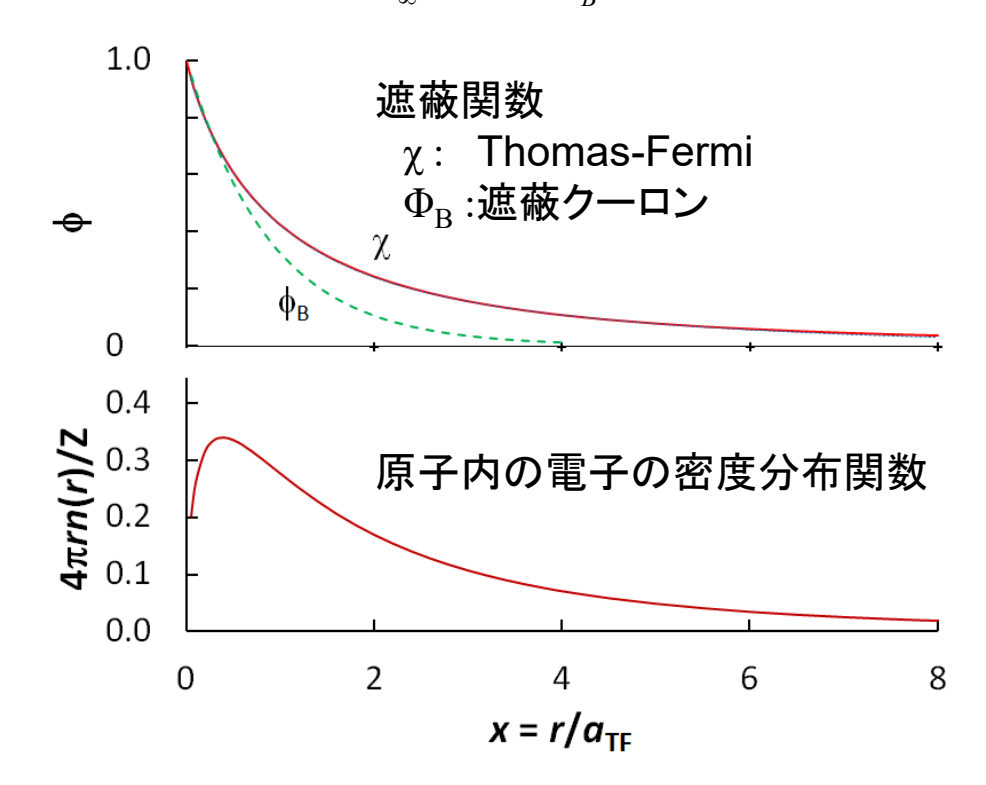
$$r = 0.88534 a_B Z^{-1/3} x$$
$$a_{TF} = 0.88534 a_B Z^{-1/3}$$

$$\overline{p}=0.688Z^{-2/3}p_{B}$$
 Coulson

原子番号

Bohr

$$a_B = \hbar / m_e e^2 = 0.529 A$$
 $p_B = m_e v_B = \sqrt{m_e e^2 / a_B}$
 $v_B = e^2 / \hbar = c / 137$
 $\approx 2.2 \times 10^8 \text{ cm/s}$
 $R_{\infty} = e^2 / 2a_B = 13.6 \text{ eV}$

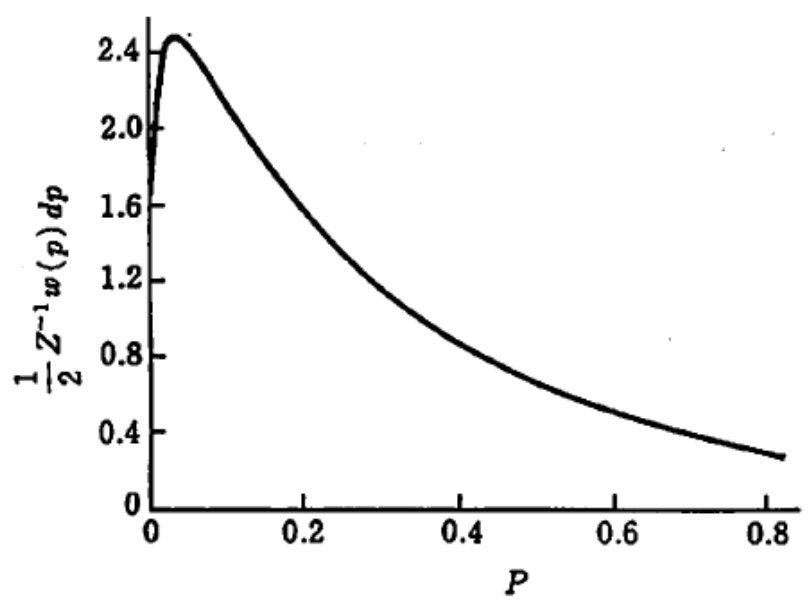


運動量分布

 \underline{hr} にある電子の運動量エネルギーの平均値 <T> は、 $p \ge p + dp$ の間の運動量を持つ電子の数

$$\frac{4\pi p^2}{4\pi^3\hbar^3}dp = \frac{p^2}{\pi^2\hbar^3}dp \qquad \sharp \, \mathcal{V}$$

$$\langle T \rangle = \int_0^{p_F} \frac{p^2}{2m_e} \cdot \frac{p^2}{\pi^2 \hbar^3} dp$$
$$= \frac{3\hbar^2}{10m_e} (3\pi^2)^{2/3} (n(r))^{5/3}$$



Thomas-Fermi 模型による運動量分布

運動量分布 運動量が pとp+dpの間にある電子の数

$$w(p)dp = (4\pi/3)r_p^3(p^2/\pi^2\hbar^3)dp = (4r_p^3/3\pi\hbar^3)p^2dp$$

$$p^{2} = 2m_{e}U(r_{p}) = 2m_{e}\frac{Ze^{2}}{r_{p}}\chi(r_{p}) = \frac{4m_{e}e^{2}Z^{4/3}\chi(r_{p})}{(3\pi/4)^{2/3}a_{B}x_{p}} = 2\left(\frac{4}{3\pi}\right)^{1/3}Z^{2/3}p_{B}\left(\frac{\chi(x_{p})}{x_{p}}\right)^{1/2}$$

x の関数 すべての原子に共通

遮蔽クーロンポテンシャル

一様な電子ガスに外部電荷 q(r)を与える

$$\varepsilon_F^0 = \varepsilon_F(\mathbf{r}) - e\phi(\mathbf{r})$$

*a*_s: 遮蔽半径

Cf.

Jellium モデル

正電荷は電子が散逸しないように 均一なゼリーのように存在

ε⁰_F: 自由電子のフェルミエネルギー

外部電荷によるポテンシャルの変化

$$\varepsilon_{F}(\mathbf{r}) = \frac{\hbar}{2m_{e}} (3\pi^{2})^{2/3} \left\{ n_{0} + \delta n(\mathbf{r}) \right\} \cong \varepsilon_{F}^{0} \left\{ 1 + \frac{2\delta n(\mathbf{r})}{3n_{0}} \right\}$$

$$e\phi(\mathbf{r}) = \frac{2\varepsilon_{F}^{0}}{3n_{0}} \delta n(\mathbf{r})$$
電子
$$\nabla^{2}\phi(\mathbf{r}) = -4\pi (q(\mathbf{r}) - e\delta n(\mathbf{r}))$$

$$\left(\nabla^{2} - \frac{6\pi e^{2}}{\varepsilon_{F}^{0}} \right) \phi(\mathbf{r}) = -4\pi q(\mathbf{r})$$
正電
$$\pi^{2} + \frac{2\delta n(\mathbf{r})}{3n_{0}} \right\}$$

$$\dot{\mathbf{r}} = \frac{4}{r} e^{-r/a_{s}} \qquad \dot{\mathbf{x}} \ddot{\mathbf{x}} = \frac{2}{r} e^{-r/a_{s}}$$

$$\dot{\mathbf{x}} = \frac{4}{r} e^{-r/a_{s}}$$

電子間のクーロン力により電子は互いに遠ざ かろうとする。 注目する電子近傍の電子密度が減少する。

金属など

注目する電子近傍の電子密度が減少する。 一様な正電荷によってこの電子は実効的に 正電荷を帯びる。

ポテンシャルが遮蔽されたことになる。

Hartree-Fock & Thomas-Fermi

1電子近似のハミルトニアン

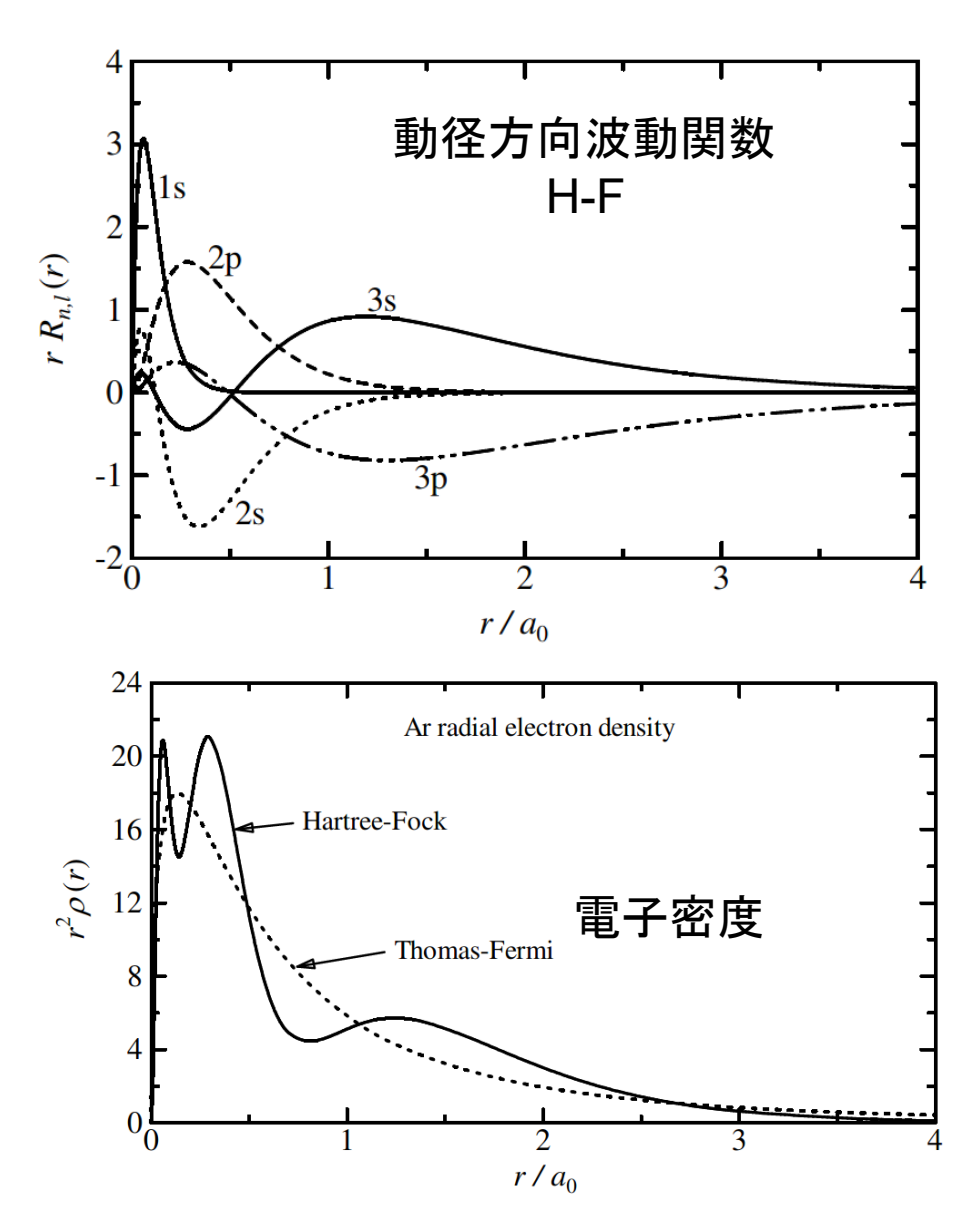
$$H = -\frac{\hbar^{2}}{2m_{e}} \nabla_{i}^{2} - \frac{Ze^{2}}{r_{i}} + \sum_{j} \left| \int \frac{e^{2}}{r_{ij}} \left| \phi_{j}(r_{j}) \right|^{2} d\mathbf{r}_{j}$$

Hartree-Fock Self consistent field

1電子系で $\phi_j(r_j)$ 初期値を代入

- \rightarrow H を決定 $\rightarrow \phi_i(r_i)$ 導出 \rightarrow 式に代入
- \rightarrow H を決定 $\rightarrow \phi_i(r_i)$ 導出 \rightarrow 式に代入

多電子系では複雑すぎる。 収束性が悪い。



Thomas-Fermi method

Neutral or positively charged ion Asymptotic

| | TF | reality |
|-------------------|-------------------------|-------------------------|
| $r \to \infty$ | $\rho(r) \sim r^{-6}$ | $\rho(r) \sim \exp(-r)$ |
| $r \rightarrow 0$ | $\rho(r) \sim r^{-3/2}$ | $\rho(0)$ is finite |
| | diverges | |

Asymptotically exact for $Z \rightarrow \infty$

Total energy is too low No shell structure No chemical binging